

# 东亚冬季环流季节内振荡与 2008 年初 南方大雪关系

王 允<sup>1,3</sup>, 张庆云<sup>1,2</sup>, 彭京备<sup>1</sup>

1 中国科学院大气物理研究所灾害性气候研究与预测中心, 北京 100029

2 中国科学院大气物理研究所大气科学和地球流体力学数值模拟国家重点实验室, 北京 100029

3 中国科学院研究生院, 北京 100049

**摘要** 2008 年 1 月 10~16 日、18~22 日、24~29 日和 1 月 31 日~2 月 2 日, 中国南方地区连续出现 4 次低温、雨雪、冰冻天气。根据 NCEP/NCAR 逐日再分析资料, 利用 LANCZOS 滤波器以及小波分析等方法, 探讨雨雪冰冻前期 2007 年 12 月 2 日~2008 年 1 月 1 日、同期 2008 年 1 月 2~21 日及后期 2008 年 1 月 22 日~2 月 14 日 850 hPa 风场季节内振荡特征及对低温、雨雪、冰冻天气的影响。2007 年 12 月~2008 年 2 月 850 hPa 风场低频振荡分析显示, 中国南方地区风场表现显著的 20~50 d 低频振荡, 季节内低频振荡的位相变化, 较好地揭示了 2008 年 1 月 10 日~2 月 2 日南方地区降雪过程的 3 种环流特征: 1) 沿高原东侧 100°E 附近南下的冷空气到达我国 30~20°N 地区, 与东亚沿海低纬的偏南风距平气流在我国南方地区形成气旋性环流, 南方降雪(水)过程中, 偏南风距平气流比偏北风距平气流强; 2) 沿高原东侧 100°E 附近南下的强偏北风距平气流与东亚沿海低纬的偏南风距平气流在我国南方地区形成气旋性环流, 南方降雪(水)过程中, 偏北风距平气流比偏南风距平气流强, 造成南方雨雪伴随低温冰冻天气; 3) 南方雨雪由偏北风距平气流与偏南风距平气流在东亚东部 25°N 形成的辐合带引起。

**关键词** 大雪 异常的风场 季节内振荡

文章编号 1006-9585 (2008) 04-0459-09 中图分类号 P448 文献标识码 A

## Relationship between the Intraseasonal Oscillation of East Asian Monsoon Circulation and the Heavy Snow over Southern China in Boreal Winter of 2007/2008

WANG Yun<sup>1,3</sup>, ZHANG Qing-Yun<sup>1,2</sup>, and PENG Jing-Bei<sup>1</sup>

1 Centre for Disastrous Climate Research and Prediction, Institute of Atmospheric Physics, Chinese Academy of Sciences, Beijing 100029

2 State Key Laboratory of Numerical Modeling for Atmospheric Sciences and Geophysical Fluid Dynamics, Institute of Atmospheric Physics, Chinese Academy of Sciences, Beijing 100029

3 Graduate University of Chinese Academy of Sciences, Beijing 100049

**Abstract** An extreme low temperature and heavy snow (rain) occurred in southern China during 10 January—2 February 2008. The intraseasonal oscillation characteristics of wind at 850 hPa and association with the extreme anomalous weather in southern China were studied by wavelet analysis and the LANCZOS filter based on the NCEP/

收稿日期 2008-04-01 收到, 2008-05-04 收到修定稿

资助项目 中国科学院大气物理研究所创新基金领域前沿重点项目 IAP07120 和国家自然科学基金资助项目 40675031、40523001

作者简介 王允, 男, 1984 年出生, 硕士研究生, 主要从事东亚季风环流异常成因机理研究。E-mail: wangyun@mail.iap.ac.cn

NCAR daily reanalysis datasets. The oscillation period with 20 to 50 days was significant for the wind over southern China at 850 hPa during December 2007—February 2008. The extreme low temperature and heavy rain/snow occurred in southern China was related to the anomalous cyclonic circulation or convergence zones over southern China which formed by vector wind at 850 hPa. During 2—21 January 2008, there were anomalous cyclonic circulation over southern China formed by anomalous northerly wind along ( $20\sim30^{\circ}\text{N}$ ,  $100^{\circ}\text{E}$ ) and anomalous southerly wind from the lower latitude in East Asia. In the first stage, the anomalous southerly wind looked stronger than northerly wind and adversed in the second stage, so the heavy snow (rain) was associated with lower temperature. During 22 January—14 February 2008 the convergence zone over  $25^{\circ}\text{N}$  formed between anomalous southerly wind from the lower latitude and northerly wind from mid-high latitude in East Asia.

**Key words** heavy snow, anomalous wind field, intraseasonal oscillation

## 1 引言

2008年1月中旬至2月初，我国河南东南部、湖北中东部、安徽、江苏、湖南、江西北部、浙江北部出现大雪，局部地区出现暴雪；江南大部及湖北东部、贵州大部、安徽南部出现冻雨或冰冻天气，部分地区的低温雨雪冰冻灾害分别为50年或100年一遇<sup>[1]</sup>。这次极端低温雨雪冰冻天气分别出现在1月10~16日、18~22日，24~29日和1月31日~2月2日，4次基本相同的天气过程频繁出现在南方地区且间隔时间短，造成了南方地区大范围低温、雨雪、冰冻灾害，给人民生命财产和国民经济带来巨大损失。郑国光<sup>[1]</sup>指出，2008年初东亚大气环流的异常是造成这次大范围低温、雨雪、冰冻灾害的根本原因。深入探讨2008年初东亚大气环流的异常成因，以及为什么4次基本相同的天气过程频繁出现在中国南方地区，对提高灾害性天气的预测能力十分重要。

东亚大气环流季节内的异常对我国天气气候异常有直接影响，夏季东亚大气环流季节内低频振荡异常及其与我国天气的联系的研究已有了一系列的成果<sup>[2~7]</sup>，但冬季东亚环流季节内低频振荡异常的研究工作并不多，金祖辉等<sup>[8]</sup>对东亚大陆冬季风期间的地面气温、气压的变化进行分析，指出东亚冬季风期间存在30~60 d以及准双周振荡。邱明宇等<sup>[9]</sup>诊断分析了El Niño事件对中高纬大气低频振荡的调制作用，指出夏季低频振荡较弱，冬季低频振荡较强。本文重点探讨2007~2008年冬季我国南方地区850 hPa风场季节内低频振荡特征与2008年1月我国南方大范围低温雨雪冰冻灾害天气过程的关系。

## 2 资料和方法

NCEP/NCAR提供的2007年11月1日至2008年4月1日逐日850 hPa风场再分析资料及1968~1996年平均的850 hPa风场的逐日资料，水平分辨是 $2.5^{\circ}\times2.5^{\circ}$ 。小波分析是检测时间序列中时间—频率变化的常用工具<sup>[10]</sup>，本文用它来检测2007年12月至2008年2月冬季东亚地区( $22.5\sim32.5^{\circ}\text{N}$ ,  $112.5\sim125^{\circ}\text{E}$ )低层850 hPa风场的变化特征对我国南方低温雨雪冰冻灾害天气的影响。本文中的滤波均采用了LANCZOS滤波器，因其是极其适用于季节内变化研究的带通滤波器<sup>[11~13]</sup>。

## 3 850 hPa 风场东亚环流的低频振荡

王会军等<sup>[14]</sup>对1948~1999年多年平均冬季850 hPa风场分析指出，在中国东部地区及其以东海域冬季主要盛行西北风。有关冬季风指数的定义<sup>[14~16]</sup>基本都是用逐月偏北风表征每年冬季风强度状况。为了了解2008年1月我国南方低温、雨雪、冰冻天气灾害发生发展的成因，我们对2007年11月至2008年2月逐月850 hPa风场进行分析，发现2007年11月、2008年2月我国南方地区上空主要受偏北风距平控制，2007年12月、2008年1月我国南方地区上空850 hPa风场上主要受偏南风距平控制。因此重点探讨2007年12月~2008年2月850 hPa风场异常特征及对2008年1月我国南方低温雨雪冰冻灾害的影响。从图1可见，不论是月平均风场还是距平场，我国南方地区( $22.5\sim32.5^{\circ}\text{N}$ ,  $112.5\sim125^{\circ}\text{E}$ )上空盛行

西南风, 也就是说2008年1月我国南方地区偏南风距平的加强可能对我国南方低温、雨雪、冰冻灾害的发生发展有一定影响。

为进一步了解2008年1月( $22.5^{\circ}\text{N} \sim 32.5^{\circ}\text{N}$ ,  $112.5^{\circ}\text{E} \sim 125^{\circ}\text{E}$ )区域西南风与我国南方低温、雨雪、冰冻灾害的关系, 参照吴尚森等<sup>[17]</sup>和琚建华等<sup>[18]</sup>关于夏季风活动强度指数的做法, 对( $22.5^{\circ}\text{N} \sim 32.5^{\circ}\text{N}$ ,  $112.5^{\circ}\text{E} \sim 125^{\circ}\text{E}$ )范围内的逐日850 hPa上纬向、经向风进行计算:

$$I_m = V_{sw} - \bar{V}_{sw},$$

式中,  $V_{sw}$ 为逐日全风速在西南方向上的投影,  $\bar{V}_{sw}$ 为 $V_{sw}$ 冬季的多年平均值。该区域平均的 $I_m$ 定义为季风强度指数。

根据上述公式计算了2007年12月至2008年2月逐日季风强度指数并进行小波分析, 图2给出季风强度指数( $I_m$ 序列)值的小波谱。由于边

界效应, 图2中方格区域内的数值低于真实值, 不具有参考价值。阴影表示谱能量的大小, 随着颜色加深谱能量增大。从图可见, 通过信度检验的显著谱系数主要集中在20~50 d的频带里, 这说明2007年12月至2008年2月, 850 hPa高度上我国南方地区风场的低频变化具有20~50 d的主要振荡周期。

由上可知, 2007年12月至2008年2月, 中国南方地区上空风矢量的时间序列( $I_m$ )以20~50 d周期振荡为主, 因此对 $I_m$ 的时间序列进行20~50 d滤波。图3给出2007年12月至2008年2月风矢量 $I_m$ 指数以及20~50 d滤波后的 $I_m$ 指数低频波的时间序列。滤波后低频波时间序列的解释方差为32%。根据Chan等<sup>[19]</sup>和Mao等<sup>[20]</sup>的做法, 将经过20~50 d滤波后的低频波进行周期和位相划分, 并对各位相的距平风进行合成分析, 探

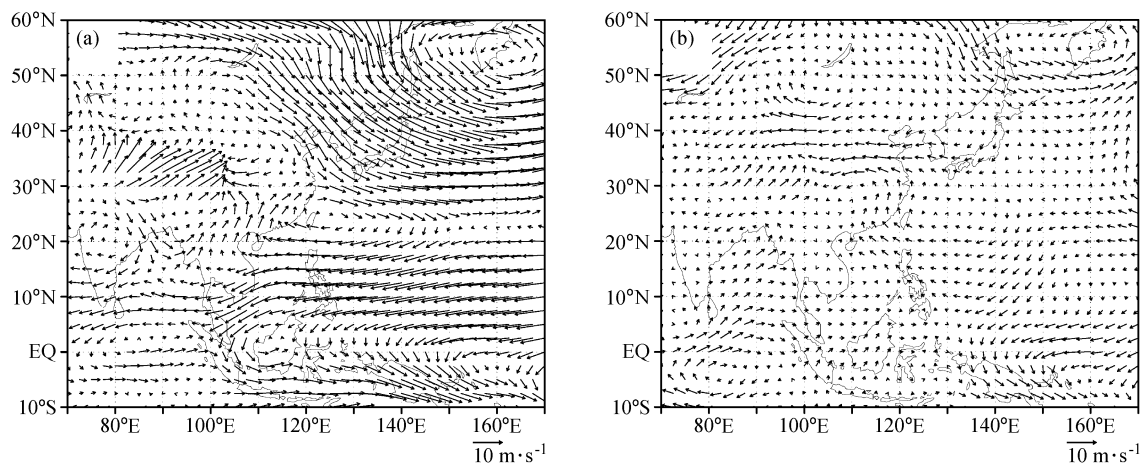


图1 2008年1月平均850 hPa (a) 风场和(b) 距平场

Fig. 1 The wind at 850 hPa in 2008: (a) monthly mean; (b) anomaly

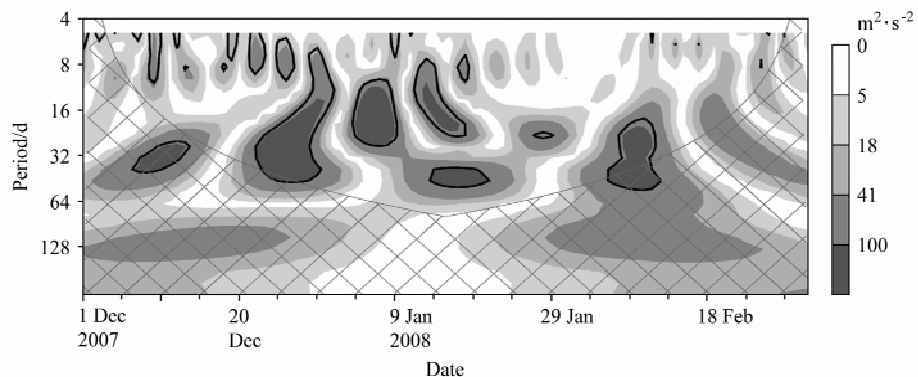


图2 2007年12月至2008年2月 $I_m$ 序列值的小波谱。基函数是6阶高斯函数, 闭合区表示经过红噪声的95%信度检验

Fig. 2 Wavelet power spectrum of daily  $I_m$  during Dec 2007–Feb 2008 based on sixth order Gaussian function. The thick solid contour encloses regions of greater than 95% confidence for a red-noise process

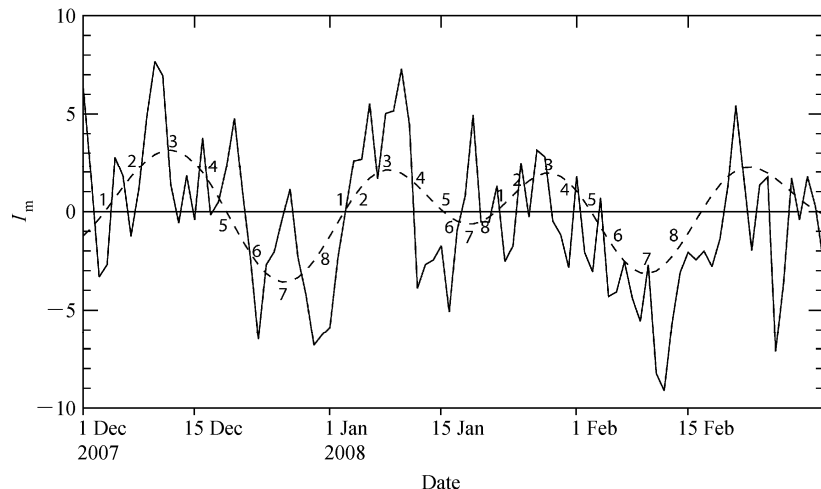


图 3 2007 年 12 月至 2008 年 2 月  $I_m$  值序列 (实线) 及其 20~50 d 滤波序列 (虚线)。虚线旁的数字表示一个完整 ISO 周期的 8 个位相

Fig. 3 The original  $I_m$  series (solid line) and the 20~50 d filtered  $I_m$  series (dashed line) in the winter during Dec 2007—Feb 2008. The numbers around the dashed line indicate 8 phases in an ISO cycle

讨低频振荡不同位相的风场特征。图 3 中的数字代表低频波的位相, 1 和 5 是转折位相, 2~4 正位相表示西南气流活跃位相, 其中 3 位相为峰值位相, 6~8 位相为负位相, 表示西南气流减弱位相, 其中 7 位相为谷值位相。图 3 显示, 2007 年 12 月至 2008 年 2 月共出现了 4 次西南风加强 (正位相) 过程, 然而为什么仅在 2008 年 1 月 10 日~2 月 2 日出现极端低温、雨雪、冰冻天气? 根据图 3 中所示的低频波周期和位相变化, 对 2007 年 12 月 2 日~2008 年 1 月 1 日、2008 年 1 月 2~21 日、2008 年 1 月 22 日~2 月 14 日这 3 个周期各个位相的风场特征进行合成分析, 探讨 2008 年 1 月 10 日~2 月 2 日低温、雨雪、冰冻天气的可能成因。

#### 4 低温、雨雪、冰冻天气过程 850 hPa 风场低频特征

图 4 给出南方地区低温、雨雪、冰冻前期 (2007 年 12 月 2 日~2008 年 1 月 1 日) 低频振荡 1~8 位相 850 hPa 风场特征。第 1 位相期, 南方地区为弱西南风距平控制, 来自东亚中高纬的偏北风距平在  $35^{\circ}\text{N}$  以北就东移出海, 冷空气没有到达南方地区。第 2~4 位相期, 位于  $35^{\circ}\text{N}$  以北的偏北风减弱、北退并从东亚中高纬地区东移到海洋上, 南方地区加强的西南风距平与反气旋性距平环流相联, 不利降雪 (水) 出现。第 5~7 位

相, 偏北风距平气流南下并控制南方地区, 这个振荡周期结束。2007 年 12 月 2 日~2008 年 1 月 1 日 850 hPa 风场低频振荡变化表明, 2~4 的正位相期, 我国南方地区西南风距平气流加强与反气旋性距平环流相联系, 由于没有冷空气入侵, 没有给南方带来降雪 (水), 5~7 位相南方地区受偏北风距平气流控制, 不利南方降雪 (水)。

图 5 是南方低温、雨雪、冰冻天气过程 (2008 年 1 月 2 日~1 月 21 日) 850 hPa 风场低频振荡 1~8 位相期风场特征。第 1 位相, 沿高原东侧  $100^{\circ}\text{E}$  附近南下的冷空气已到达我国  $30\text{~}20^{\circ}\text{N}$  地区,  $30\text{~}20^{\circ}\text{N}$  的南方地区受偏北风距平气流影响, 东亚沿海  $20^{\circ}\text{N}$  以南地区出现偏南风距平环流, 我国东部  $30\text{~}20^{\circ}\text{N}$  的南方地区无降雪 (水); 第 2~4 位相, 沿高原东侧  $100^{\circ}\text{E}$  附近南下的偏北风距平气流, 与东亚沿海低纬的偏南风距平气流在我国南方地区形成气旋性环流; 在第 3 和 4 位相, 此时气旋性环流加强主要与偏南风距平环流加强有关, 南方地区受气旋性环流影响出现降雪 (水) 过程, 该降雪过程偏南风距平气流比偏北风距平强; 在第 5~7 位相, 东亚沿海低纬的偏南风距平气流减弱, 沿高原东侧  $100^{\circ}\text{E}$  附近南下的偏北风距平气流加强, 南方地区仍受气旋性环流影响出现降雪 (水), 该降雪 (水) 过程中偏北风距平气流比偏南风距平气流强, 加强的偏北风距平气流使得南方地区出现的雨雪伴随低温冰冻。

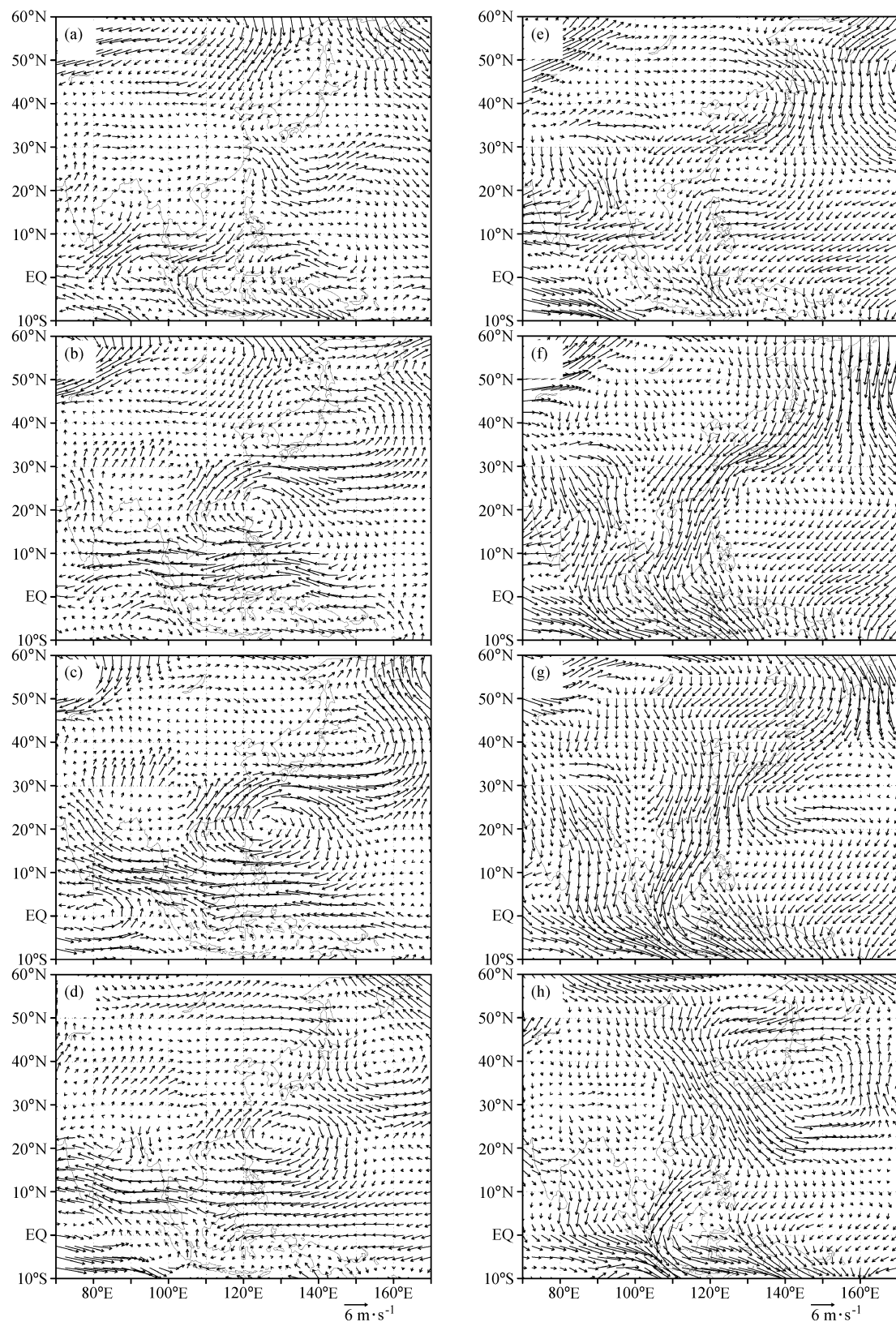


图 4 2007 年 12 月 2 日~2008 年 1 月 1 日 850 hPa 风场低频振荡位相图。(a) ~ (h) 分别为第 1~8 位相

Fig. 4 Composite anomalous vector wind at 850 hPa and the phase based on filtered by the 20–50 d during Dec 2007–Jan 2008.

(a) ~ (h) represent phases 1–8

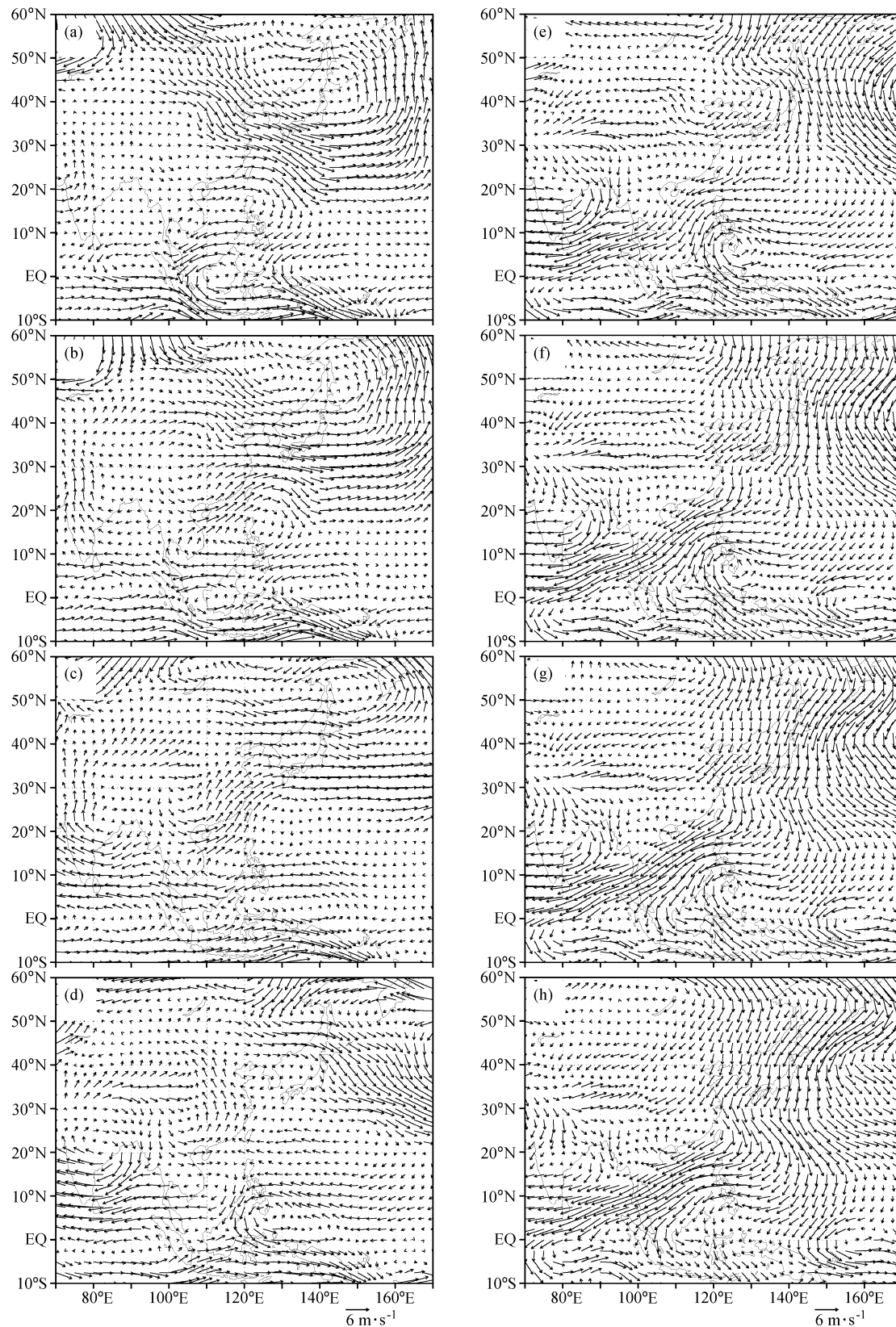


图 5 2008 年 1 月 2~21 日 850 hPa 风场 20~50 d 低频振荡各位相风距平场合成 (a) ~ (h) 分别为第 1~8 位相  
Fig. 5 Same as Fig. 4 but for 2~21 Jan 2008. (a) ~ (h) represent phases 1~8

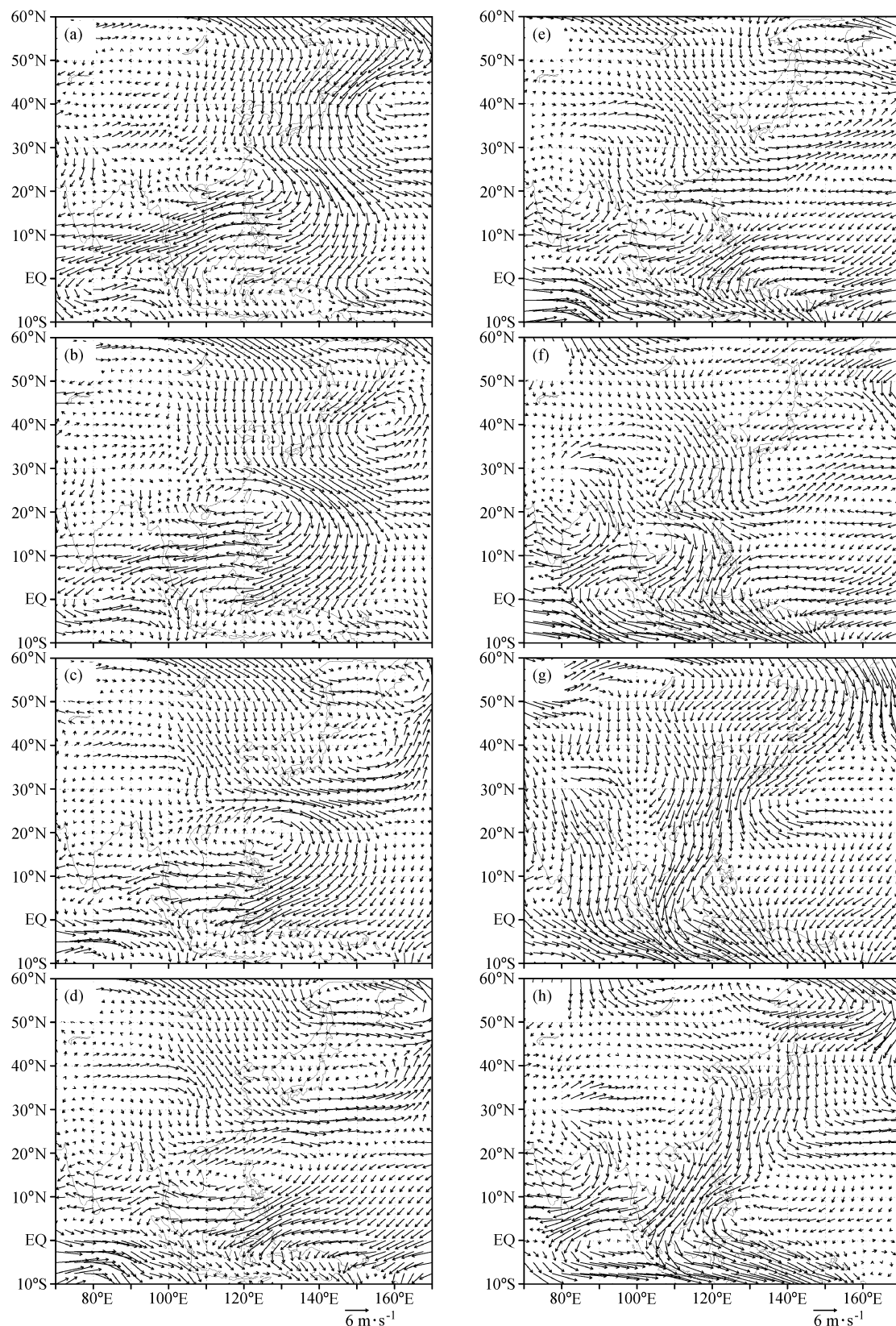


图 6 2008 年 1 月 22 日～2 月 14 日 850 hPa 风场 20~50 d 低频振荡不同位相风场距平。(a) ~ (h) 分别为第 1~8 位相

Fig. 6 Same as Fig. 4, but for 22 Jan to 14 Feb 2008. (a) ~ (h) represent phases 1~8

综上所述, 850 hPa 风场低频振荡的 2~4 位相, 中国南方出现气旋性环流及降雪(水)与高原东侧南下的偏北风距平气流以及东亚沿海低纬强偏南风距平气流有关, 此时偏南风距平气流加强对降雪过程形成起重要作用; 850 hPa 风场低频振荡的 5~7 位相, 中国南方出现气旋性环流及降雪(水)与高原东侧南下的强偏北风距平气流以及东亚沿海低纬弱偏南风距平气流有关, 此时偏北风距平气流加强对降雪过程形成起重要作用。2008 年 1 月 2~21 日南方持续性低温雨雪冰冻天气的发生与低频振荡位相矢量风强弱有关。

图 6 是 2008 年 1 月 22 日~2 月 14 日 850 hPa 风场低频振荡各位相的风场特征。从图可见, 第 1~4 位相, 南方地区降雪过程主要受偏北风距平气流与偏南风距平气流在 25°N 形成的辐合带的影响; 5~8 位相 2 支偏北风距平气流都南压到南方, 南方地区完全被偏北风距平气流控制, 致使南方地区持续 20 多天的降雪过程结束。

## 5 小结与讨论

本文根据 NCAR/NCEP 逐日再分析资料, 探讨了 2007 年 12 月~2008 年 2 月 850 hPa 风场季节内低频振荡特征及其与中国南方地区雨雪天气过程的关系, 季节内低频振荡的位相变化, 清楚地揭示了 2008 年初南方地区降雪过程的主要环流特征及异同, 主要结论如下:

(1) 2007 年 12 月 2 日~2008 年 1 月 1 日 850 hPa 风场低频振荡过程的正位相期, 南方地区为强偏南风距平气流控制, 冷空气在东亚中高纬地区就开始东移, 南方地区没有冷空气入侵, 不利降雪(雨)发生。

(2) 2008 年 1 月 2~21 日 850 hPa 风场低频振荡过程中, 沿高原东侧 100°E 附近南下的冷空气到达我国 30~20°N 地区与来自东亚沿海 20°N 以南的偏南风距平气流在南方地区形成气旋性距平环流, 该降雪过程偏南风距平气流比偏北风距平强; 沿高原东侧 100°E 附近南下的强偏北风距平气流与来自东亚沿海 20°N 以南的偏南风距平气流在南方地区形成气旋性距平环流, 该降雪(水)过程中偏北风距平气流比偏南风距平气流强, 加强的偏北风距平气流使得南方地区出现的雨雪伴

随低温冰冻。

(3) 2008 年 1 月 22 日~2 月 14 日 850 hPa 风场的低频振荡过程中, 南方地区降雪过程主要受偏北风距平气流与偏南风距平气流在 25°N 形成辐合带的影响; 东亚地区有 2 支偏北风距平气流南压到南方, 南方地区完全被偏北风距平气流控制, 致使南方地区持续 20 多天的降雪过程结束。

低频振荡位相能较好地反映系统的主要特征, 造成 2008 年 1 月 10 日~2 月 2 日南方地区持续性冰冻低温雨雪灾害天气的成因机理是十分复杂的, 有关问题需要进一步探讨。

## 参考文献 (References)

- [1] 郑国光. 气象局长详析历史罕见低温雨雪冰冻灾害. 人民日报, 2008 年 2 月 4 日  
Zheng Guoguang. The director-general of China Meteorology Administration gave a detailed analysis of the lasting frost extreme weather disaster with low temperature and heavy rain/snow. People's Daily. 4 Feb 2008
- [2] 李崇银. 大气低频振荡. 北京: 气象出版社, 1990  
Li Chongyin. *The Atmospheric Intraseasonal Oscillation* (in Chinese). Beijing: China Meteorological Press, 1990
- [3] 何金海, Murakami T, Nakazawa T. 1979 年夏季亚洲季风区域 40~50 天周期振荡的环流及其水汽输送场的变化. 南京气象学院院报, 1984, 2 (2): 163~175  
He Jinhai, Murakami T, Nakazawa T. Circulation with 40~50 day oscillation and changes in moisture transport over Monsoon Asia in 1979 summer. *Journal of Nanjing Institute of Meteorology* (in Chinese), 1984, 2 (2): 163~175
- [4] 据建华, 赵尔旭. 东亚夏季风区的低频振荡对长江中下游旱涝的影响. 热带气象学报, 2005, 21 (2): 163~171  
Ju Jianhua, Zhao Erxu. Impacts of the low-frequency oscillation in East Asian Summer Monsoon on the drought and flooding in the middle and lower valley of the Yangtze River. *Journal of Tropical Meteorology* (in Chinese), 2005, 21 (2): 163~171
- [5] 陶诗言, 张庆云, 张顺利. 夏季北太平洋副热带高压系统的活动. 气象学报, 2001, 59 (6): 747~758  
Tao Shiyan, Zhang Qingyun, Zhang Shunli. An observational study on the behavior of the subtropical high over the west pacific in summer. *Acta Meteorologica Sinica* (in Chinese), 2001, 59 (6): 747~758
- [6] 张庆云, 陶诗言, 张顺利. 夏季长江流域暴雨洪涝灾害的天气气候条件. 大气科学, 2003, 27 (6): 1018~1030  
Zhang Qingyun, Tao Shiyan, Zhang Shunli. The persis-

- tent heavy rainfall over the Yangtze river valley and its associations with the circulations over east Asian during summer. *Chinese Journal of Atmospheric Sciences* (in Chinese), 2003, **27** (6): 1018~1030
- [7] Yang Hui, Li Chongyin. The relation between atmospheric intraseasonal oscillation and the summer flood and drought in the changjiang-huaihe river basin. *Adv. Atmos. Sci.*, 2003, **20** (4): 540~553
- [8] 金祖辉, 孙淑清. 东亚大陆冬季风的低频振荡特征. 大气科学, 1996, **20** (1): 101~111  
Jin Zuhui, Sun Shuqing. The characteristics of low frequency oscillations in winter monsoon over the eastern Asia. *Scientia Atmospherica Sinica* (in Chinese), 1996, **20** (1): 101~111
- [9] 邱明宇, 陆维松, 陶丽. ENSO事件对中高纬大气低频振荡的调频作用. 南京气象学院学报, 2004, **27** (3): 365~373  
Qiu Mingyu, Lu Weisong, Tao Li. Frequency modulation effect of ENSO events on atmospheric low-frequency oscillations in the extra-tropical latitudes. *Journal of Nanjing Institute of Meteorology* (in Chinese), 2004, **27** (3): 365~373
- [10] Torrence C, Compo G P. A practical guide to wavelet analysis. *Bull. Amer. Meteor. Soc.*, 1998, **79** (1): 61~78
- [11] Duchon C E. Lanczos filtering in one and two dimensions. *J. Appl. Meteor.*, 1979, **18** (8): 1016~1022
- [12] 陈兴跃, 王会军, 曾庆存. 大气季节内振荡及其年际变化. 北京: 气象出版社, 2000. 13~14  
Chen Xingyue, Wang Huijun, Zeng Qingsun. *The Atmospheric Intraseasonal Oscillation and its Inter-annual variability*. (in Chinese) Beijing: China Meteorological Press, 2000. 13~14
- [13] 姚菊香, 王盘兴, 李丽平. 季节内振荡研究中两种数字滤波器的性能对比. 南京气象学院学报, 2005, **28** (2): 248~253  
Yao Juxiang, Wang Panxing, Li Liping. Performance contrast between two filters in Madden-Julian Oscillations Analysis. *Journal of Nanjing Institute of Meteorology* (in Chinese), 2005, **28** (2): 248~253
- [14] 王会军, 姜大膀. 一个新的东亚冬季风强度指数及其强弱变化之大气环流场差异. 第四纪研究, 2004, **24** (1): 19~27  
Wang Huijun, Jiang Dabang. A new East Asian winter monsoon intensity index and atmospheric circulation comparison between strong and weak composite. *Quaternary Sciences* (in Chinese), 2004, **24** (1): 19~27
- [15] 崔晓鹏, 孙照渤. 东亚冬季风强度指数及其变化的分析. 南京气象学院学报, 1999, **22** (3): 321~325  
Cui Xiaopeng, Sun Zhaobo. East Asian winter monsoon index and its variation analysis. *Journal of Nanjing Institute of Meteorology* (in Chinese), 1999, **22** (3): 321~325
- [16] 高辉. 东亚冬季风指数及其对东亚大气环流异常的表征. 气象学报, 2007, **65** (2): 272~279  
Gao Hui. Comparison of four East Asian winter monsoon indices. *Acta Meteorologica Sinica* (in Chinese), 2007, **65** (2): 272~279
- [17] 吴尚森, 梁建茵. 南海夏季风强度指数及其变化特征. 热带气象学报, 2001, **17** (4): 337~344  
Wu Sangshen, Liang Jianyin. An index of South China Sea summer monsoon intensity and its variation characters. *Journal of Tropical Meteorology* (in Chinese), 2001, **17** (4): 337~344
- [18] 瞿建华, 钱诚, 曹杰. 东亚夏季风的季节内振荡研究. 大气科学, 2005, **29** (2): 187~194  
Ju Jianhua, Qian Cheng, Cao Jie. The intraseasonal oscillation of east Asian summer monsoon. *Chinese Journal of Atmospheric Sciences* (in Chinese), 2005, **29** (2): 187~194
- [19] Chan J C L, Ai W, Xu J. Mechanisms responsible for the maintenance of the 1998 South China Sea summer monsoon. *J. Meteor. Soc. Japan*, 2002, **80**: 1103~1113
- [20] Mao Jiangyu, Wu Guoxiong. Intraseasonal variations of the Yangtze rainfall and its related atmospheric circulation features during the 1991 summer. *Climate Dyn.* 2006, **27** (7): 815~830